DOI: 10. 13382/j. jemi. B2003032

时频广义 S 变换和 VL-MOBP 神经网络在 人体动作识别中的应用*

尹柏强 邓 影 王署东 胡增超 李 兵 佐 磊 (合肥工业大学 电气与自动化工程学院 合肥 230009)

摘 要:针对仿生假肢动作识别问题,提出基于时频广义S变换和VL-MOBP神经网络的下肢动作识别方法。首先用时频广义S变换对年龄在20~40岁,身高在170~185 cm,体重在50~75 kg的22名男性测试者下肢4种表面肌电信号和膝盖弯曲度信号进行多分辨率分析,得到在时间和频率分辨率较好情况下信号时频累计特性曲线,然后提取时频累计特性曲线幅值的均值和标准差作为特征向量,用VL-MOBP神经网络对人体下肢的行走、站立及静坐3种动作进行识别。实验结果表明,提出的下肢动作识别方法能够取得很好的识别效果,平均识别准确度达96.67%,高出小波变换约56%,高出短时傅里叶变换约36%,验证了该方法在动作识别中的有效性。

关键词:时频广义S变换;VL-MOBP神经网络;表面肌电信号;动作识别

中图分类号: TN911.7 文献标识码: A 国家标准学科分类代码: 510.4030

Application of time-frequency generalized S transform and VL-MOBP neural network in human motion recognition

Yin Baiqiang Deng Ying Wang Shudong Hu Zengchao Li Bing Zuo Lei (School of Electrical and Automation Engineering, Hefei University of Technology, Hefei 230009, China)

Abstract: Aiming at the needs of bionic prosthetic motion recognition, a lower limb motion recognition method based on time-frequency generalized S transform and VL-MOBP neural network was proposed. First, time-frequency generalized S-transform was used to measure 4 kinds of surface electromyographic signals and knee flexion of the lower extremities of 22 male subjects aged between 20 and 40 years old, between 170 cm and 185 cm tall and weight between 50 kg and 75 kg. Using multi-resolution analysis of the frequency signal to obtain the time-frequency cumulative characteristic curve of the signal when the time and frequency resolution were good, then extracting the mean and standard deviation of the amplitude of the time-frequency cumulative characteristic curve as the feature vector, and using the VL-MOBP neural network to recognize the three movements of human lower limbs; Walking, standing, and sitting. The experimental results showed that the proposed lower limb movement recognition method can achieve good recognition results, with an average recognition accuracy of 96. 67%, which is about 56% higher than the wavelet transform and about 36% higher than the short-time Fourier transform. Effectiveness in motion recognition has been verified.

Keywords: time-frequency generalized S transform; VL-MOBP neural network; surface electromyographic; action recognition

0 引言

我国残疾人总数约 8 500 万。而可就业年龄阶段占这一总数的 1/4 以上。如何确保残疾人的日常工作与生活已经成为当今社会所面临的一大问题。仿生假肢能够

满足残疾人日常工作与生活的基本需求,而仿生假肢动作识别一直是制作仿生假肢的难点。根据人体表面肌电信号(surface electromyography, sEMG)[1]识别肢体动作,再将该项技术移植到仿生假肢的制作过程中,对利用仿生假肢提高残疾人的生活质量具有重大价值和意义。

收稿日期: 2020-03-28 Received Date: 2020-03-28

^{*}基金项目:国家自然科学基金(61971175)、国家重点研发计划"重大科学仪器设备开发"项目(2016YFF0102200)、国家自然科学基金重点项目(51637004)、中央高校基本科研业务费(JZ2019YYPY0025)资助项目

基于表面肌电信号动作识别方法的关键是如何提取 表面肌电信号的特征值。文献[2]采用神经网络进行动 作特征提取并利用 Softmax 分类器[3] 对人体 6 种动作进 行识别分类。文献[4]采用切比雪夫 I 型方法[5]对信号 进行降噪并提取特征,然后送到粒子群优化支持向量 机[6]中实现对6个跑动相位的识别。文献[7]提出一种 基于多源信息融合的膝上假肢步态识别方法对下肢运动 信息进行步态识别。文献[8]利用二维小波包分解对超 宽带雷达人体9种不同动作进行分类。文献[9]提出一 种基于压缩稀疏融合的动作识别方法对 8 种不同的人体 动作进行有效识别。此外还有学者采用块稀疏贝叶斯学 习^[10]、短时傅里叶变换(short-time Fourier transform, STFT)[11]、小波包变换[12]等方法来辨识表面肌电信号动 作模式。以上识别方法都有各自的优势。但表面肌电信 号是非平稳信号,信号特征容易在提取过程中丢失,信号 特征的丢失容易导致动作模式识别的准确度不高,因此 需要采用更加灵活的特征提取方法来适应其非平稳特 性,从而提高动作模式识别的准确度。

针对表面肌电信号的非平稳特性,本文采用改造后的 S 变换 [13-16],即时频广义 S 变换用于表面肌电信号的特征提取。时频广义 S 变换是在参数取值 $\gamma > 1, \rho > 1$,即时间分辨率较好情况下及 $\gamma > 1, \rho < 1$,即频率分辨率

较好情况下对原始信号做两次变换。时频广义S变换采用宽度随频率呈反比变化的高斯窗函数,在低频段的时窗较宽,可以获得较高的频率分辨率;而高频段的时窗较窄,可以获得较高的时间分辨率。相比于STFT 固定的变换窗口,时频广义S变换的高斯窗可以根据原始信号频率的变化而变化。相比于小波变换基函数如何选择的难题,时频广义S变换采用高斯函数作为变换的基函数。因为时频广义S变换引入两个调节参数γ和ρ,相比于S变换中高斯窗口宽度随原始信号频率变换的固定速率,时频广义S变换不仅能够根据原始信号的频率来改变高斯窗的宽度,还能根据该频率来改变高斯窗宽度随频率变化的速率。时频广义S变换灵活多变的高斯窗也使得该变换比STFT、小波变换及S变换等传统时频分析方法具有更强的时频表征能力,对非平稳的表面肌电信号特征提取有明显优势,从而实现更好的分类效果。

对采集到的人体下肢表面肌电信号和膝盖弯曲度信号用时频广义S变换进行多分辨率分析,得到信号的时频累计特性曲线,提取累计特性曲线幅值的均值和标准差作为特征向量,送到学习率可变动量反向传播(variable learning rate momentum backpropagation, VL-MOBP)[17]神经网络中进行识别分类。本文结构框图如图 1 所示。

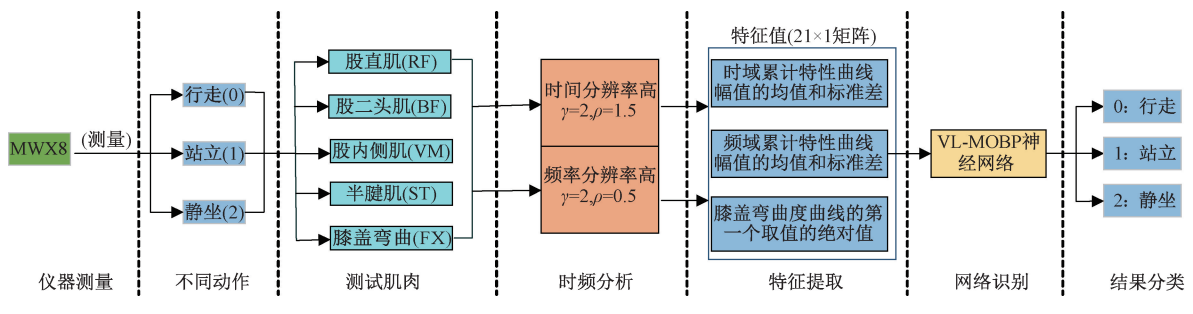


图 1 结构框图

Fig. 1 Structure diagram

1 时频广义 S 变换

假设 x(t) 是测试的原始表面肌电信号,则该信号的 S 变换定义式如下:

$$S(\tau, f) = \int_{-\infty}^{\infty} x(t) \left\{ \frac{|f|}{\sqrt{2\pi}} e^{\frac{-j^2(\tau - t)^2}{2} - i2\pi ft} \right\} dt$$
 (1)

式中:f 为原始表面肌电信号的频率; τ 用于控制时间轴上高斯窗函数的位置。

时频广义 S 变换是对 S 变换的高斯窗函数进行改造,通过引入两个调节参数 γ 和 ρ , 能灵活地改变窗函数形状和宽度,使得时窗能适应实际信号频率的不断变化,从而获得理想的时频分辨率^[18]。时频广义 S 变换的表达式为:

$$S(\tau, f) = \int_{-\infty}^{\infty} x(t) \left\{ \frac{|\gamma| |f|^{\rho}}{\sqrt{2\pi}} e^{\frac{-\gamma^{2} f^{2\rho} (\tau - t)^{2}}{2} - i2\pi f t} \right\} dt \qquad (2)$$

式中: $\rho \in [1/2,3/2]$, γ 是调节因子。选定 ρ 后,当 $|\gamma| > 1$ 时,信号的时间分辨率将被提高,当 $|\gamma| < 1$ 时 信号的频率分辨率将被提高 $|\gamma| < 1$ 时 信号的频率分辨率将被提高 $|\gamma| < 1$ 时 信号的频率分辨率是互相矛盾的,在取得较好时间分辨率的同时频率分辨率会下降,所以如何选择时间分辨率和频率分辨率应该从处理的实际问题出发,根据实际问题的需求来选取想要的变换结果。

图 2 所示时频广义 S 变换的高斯窗函数 (f 是原始表面肌电信号的频率, τ 用于控制时间轴上高斯窗函数的位置),当选定 ρ = 1 时,不难看出当 γ 取 0.5 时,时频广义 S 变换在时域上移动的高斯窗随着频率增大而变窄的速率比较缓慢,当 γ =1 时,该速率所有加快,当 γ =2 时,

该速率要比γ取 0.5 和 1 时的更快,根据时频广义 S 变换高斯窗口的特性,在实际问题中,根据不同需求来改变高斯窗宽度随频率呈反比变化的速率,这样更有助于信号的分析和处理。

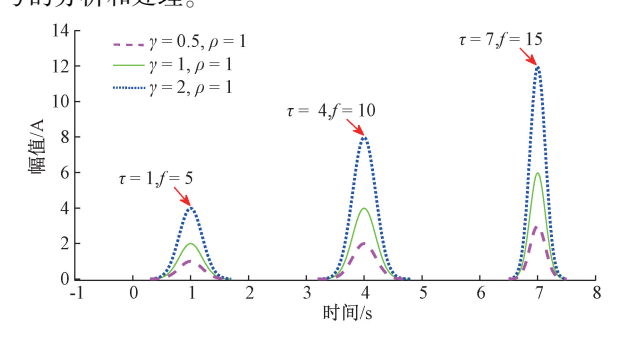


图 2 时频广义 S 变换高斯窗

Fig. 2 Time-frequency generalized S transform Gaussian window

2 VL-MOBP 神经网络

BP(back propagation)神经网络是神经网络家族中的一员,它是感知器和自适应线性神经网络的发展。该网络是将误差反向传播算法融入到神经网络中得到的一种广泛用于函数逼近、模式识别(分类)、数据压缩的神经网络。

BP 神经网络的神经元与感知器类似, 只不过 BP 神经网络的传输函数是非线性的, 常用的有 logsin 函数和tan sig 函数, 有的时候会用 purelin 函数。其输出表达式为:

$$\Delta x(k+1) = \mu \Delta x(k) + \alpha (1-\mu) \partial E(k) / \partial x(k)$$
 (4)

$$x(k+1) = x(k) + \Delta x(k+1) \tag{5}$$

其中 $0 < \mu < 1, \Delta x$ 为权值或阈值的修正量,k 为网络训练次数, α 是学习率, $\partial E(k)/\partial x(k)$ 是误差性能函数对权值或阈值的梯度。该算法是用前一次的修正结果来影响本次的修正结果,当前一次修正量过大时,式(4)中第 2 项符号将与前一次的修正量符号相反,使得本次的修正量减小,当前一次修正量较小时,式(4)中第 2 项符号将与前一次的修正量符号相同,使得本次的修正量增加。

学习率对一个算法的收敛性至关重要。学习率过

大,容易导致算法不收敛,不能达到理想的训练效果。学习率过小,收敛速度慢,算法的实时性差,而要在训练之前选择一个最佳学习率是很难的。本文提出的 VL-MOBP 算法则能很好地解决这个问题。当误差以减小的方式趋于目标误差时,说明修正方向正确,此时将学习率乘以增量因子 k_{inc} ,增大学习率,当误差超过了设定值时,说明修正方向错误,此时将学习率乘以减量因子 k_{dec} ,使学习率减小,并且舍弃上一步权值和阈值的修正。即:

$$\alpha(k+1) = \begin{cases} k_{inc}\alpha(k), & E(k+1) < E(k) \\ k_{dec}\alpha(k), & E(k+1) > E(k) \end{cases}$$
 (6)

同时引入动量因子 μ 、增量因子 k_{inc} 和减量因子 k_{dec} ,不仅能够获得较快的收敛速率,还能够防止在训练过程中出现局部最小值及振荡问题。

3 实验仿真与训练

3.1 表面肌电信号数据

本实验使用表面肌电传感器来采集人体下肢表面肌电信号,该传感器是一种主动感应传感器,操作简单,能提供极高质量的信号。让该传感器与移动便携 DataLOG 系统直接连接使用进行信号的传输。该系统一共有8个数字通道和4个模拟通道,其中4个数字通道用于表面肌电信号的采样,1个模拟通道用于测量膝盖角度。这些数据通过蓝牙适配器在实时数据记录软件中传输,14位分辨率,采样频率为1000 Hz。

该实验对 22 名男性测试者进行实验,这 22 名男性测试者的年龄在 20~40 岁,身高在 170~185 cm,体重在 50~75 kg,其中 11 个人是由专家诊断过的膝关节异常患者,另外 11 位是正常测试者。让这 22 名测试者分别进行行走、站立及静坐 3 种动作,在这过程中使用 4 个数字通道采集 RF、BF、VM 和 ST 的电信号,然后用一个模拟通道采集从坐姿伸直腿和向上弯曲腿过程中腿的角度变化,即FX 的电信号。由于数据较多,本文截取了第一个正常人在行走、站立及静坐 3 种不同动作下 4 种肌肉电信号和膝盖弯曲度电信号数据样本的一部分,数据如表 1 所示。

表 1 第 1 个正常人的数据样本

Table 1 Data sample of the first normal person

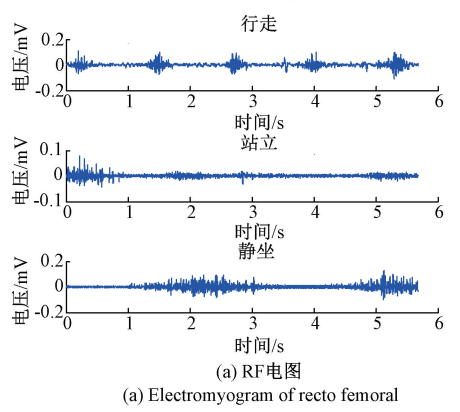
-1. //-	DE / T	DE / N	3734 / 37	CPD / N	TTV ((0)
动作_	RF/mV	BF/mV	VM/mV	ST/mV	FX/(°)
	0.0007	-0.008 3	0.004 5	-0.009 1	57.600 0
行走	-0.0008	-0.003 8	0.0007	-0.004 6	57.500 0
	-0.0008	-0.006 8	0.0015	-0.002 3	57. 300 0
	0.0015	-0.0008	-0.0046	0.0007	3.000 0
站立	0.0030	0.004 5	-0.015 8	-0.000 8	3.000 0
	0.003 7	0.004 5	-0.016 5	-0.0080	3.000 0
	0.0007	-0.000 8	0.0030	0.0000	70. 100 0
静坐	-0.000 8	-0.001 5	0.0022	0.0007	70. 100 0
	-0.0008	-0.0030	0.0000	0.0000	70. 100 0

图 3 所示为第 1 个正常测试者分别进行行走、站立及静坐 3 种动作时其股直肌电信号图和膝盖弯曲度的信号图。

观察股直肌电信号图(其他3种肌肉信号图与其类似)和膝盖弯曲度图,不难发现,在3种不同状态下它们的幅值大小及振动频率不一样,所以,可以采用时频广义S变换,将时域信号图转换为时频图,通过提取信号在时频图下的特征值,来对3种动作进行识别分类。

3.2 将信号做时频广义 S 变换

本文采用时频广义S变换将时域下的信号图转换到



时间-频率下的时频图。时频广义 S 变换中不同 γ 和 ρ 的取值,会得到不同的时间分辨率和频率分辨率。现在就以第一个正常人在行走时股直肌电信号为例,在 3 种不同的取值下即 γ = 1, ρ = 1; γ = 2, ρ = 1.5; γ = 2, ρ = 0.5 对该信号进行分析,并画出它们的时频广义 S 变换三维图及时频累计特性曲线,如图 4 所示。其中,图 4(a)、(b)中 P1、P2、P3 为股直肌信号图对称三点;图 4(c)中 P1 t、P2t、P3t 为图 4(b)中未能识别出的点;图 4(d)中 P1f、P2f、P3f 为图 4(b)中未能识别出的点。

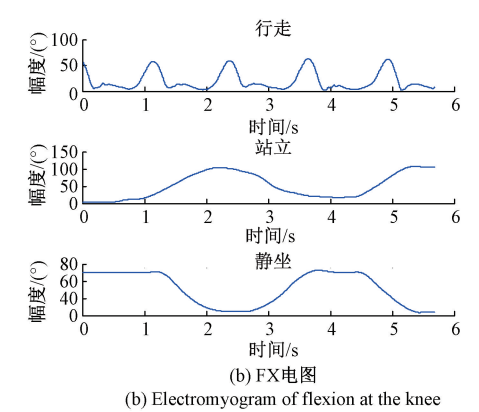


图 3 肌电信号原始信号图

Fig. 3 EMG signal original signal diagram

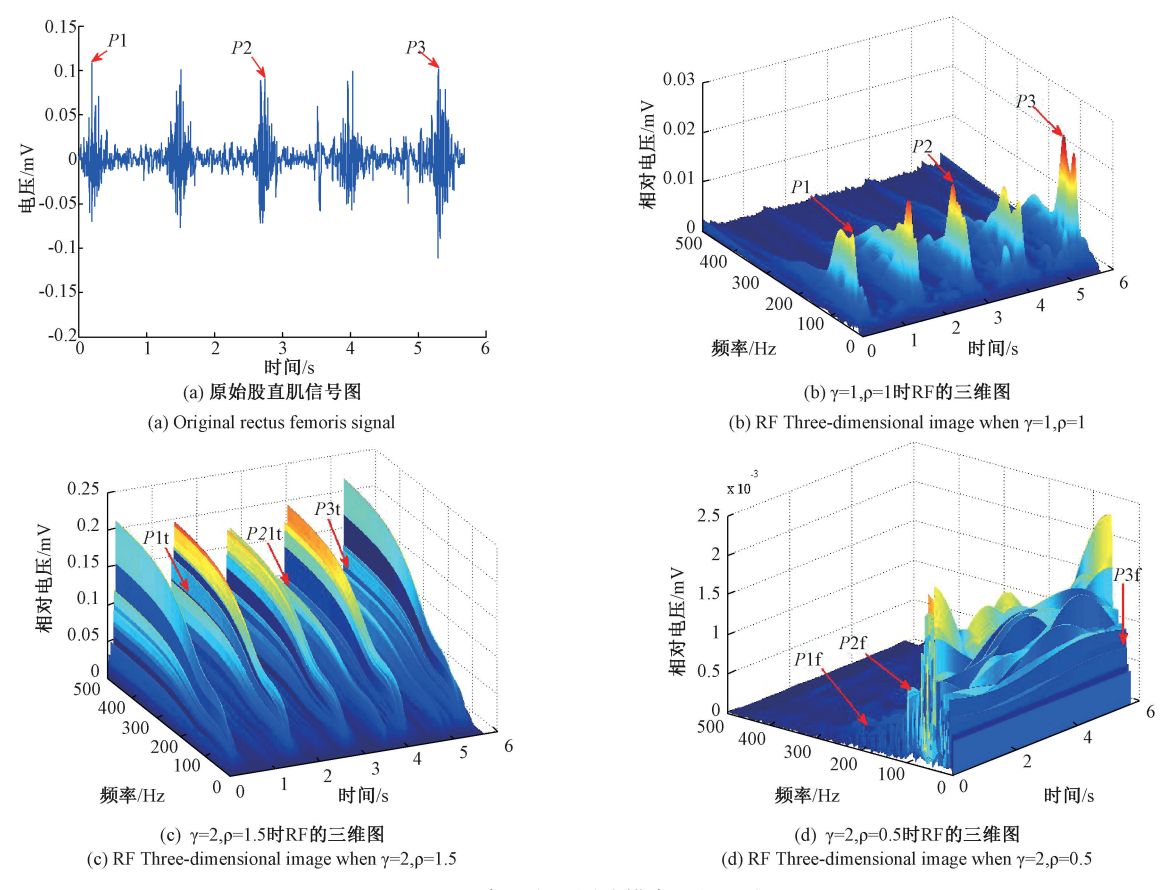


图 4 股直肌在不同分辨率下的三维图

Fig. 4 3D images of RF at different resolutions

图 4(a) 是第 1 个正常人在行走时股直肌的原始电信号图,由图中 P1 (0. 20,0. 11),P2 (2. 74,0. 09) 和 P3 (5. 30,0. 10) 三点的坐标可以看出,该电信号呈周期性,并且在每个周期最高点对应的电压幅值大小基本相等。将该信号在不同 γ 和 ρ 的取值下做时频广义 S 变换,得到相应的时频矩阵,其时频矩阵的三维图如图 4(b)~(d) 所示。由图 4(b)可知,在 γ = 1, ρ = 1 时,信号的时间分辨率和频率分辨率是中性状态,而其点 P1、P2 和 P3 与图 4(a) 相对应。当时间分辨率设置较高时,即 γ = 2, ρ =

1.5,此时时间轴能够很清晰的分辨出各种时域成分,在三维图上体现为图 4(c)中出现了很多在图 4(b)中未能检测出来的时域成分如 P1t(1.44,432.10)、P2t(3.52,400.10)和 P3t(5.247,470.70)。当设置频率分辨率较高时,即 $\gamma=2,\rho=0.5$,此时能够分辨出在原始信号中存在的非常小的频率,即图 4(d)中出现了很多图 4(b)中没有检测出来的频率成分如 P1f(0.05,223.60)、P2f(0.06,19.190)和 P3f(5.68,9.153)。下面从时频累计特性曲线的角度来分析。

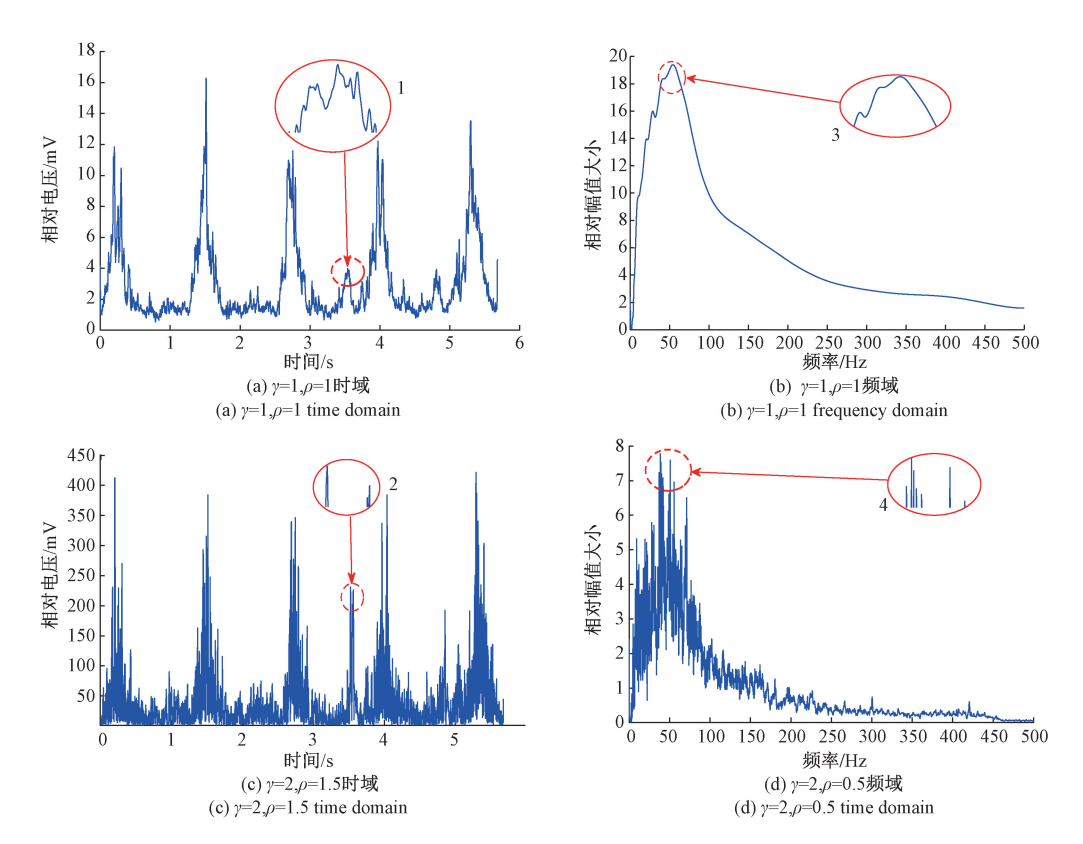


图 5 不同分辨率下时频累计特性曲线

Fig. 5 Time-frequency cumulative characteristic curves at different resolutions

图 5 所示为股直肌信号在不同分辨率下时域和频域累计特性曲线。图 5(a)、(c)是 $\gamma=1,\rho=1$ 和 $\gamma=2,\rho=1$.5 的时频广义 S 变换时域累计特性曲线,由相同区域放大的图形 1、2 可知,图 5(c) 的波峰要比图 5(a) 的更尖更窄,因此取 $\gamma=2,\rho=1$.5 时,时频广义 S 变换在时间轴上能将信号分析得更加精确。图 5(b)、(d)是 $\gamma=1,\rho=1$ 和 $\gamma=2,\rho=0$.5 的时频广义 S 变换频域累计特性曲线,由相同区域放大的图形 3、4 可知,图 5(b) 的波峰要比图 5(d) 的更尖更窄,故取 $\gamma=2,\rho=0$.5 时,时频广义 S 变换有更高的频率分辨率。根据上面的特征,分别取在时间和频率分辨率较好情况下信号时频累计特性曲线幅值的均值和标准差作为第 1 个正常人在行走时股直肌信号的

特征向量,因此股直肌的特征向量有4个。实验中测试了4种肌肉信号和一个膝盖弯曲度信号,所以第1个正常人在行走动作下有20个特征值,表2是第1个正常人在3种不同动作下的20个特征值。通过观察在行走、站立及静坐3种动作下的膝盖弯曲度电信号图,发现在站立动作下信号图的初始状态更接近于0°,而在行走及静坐动作下更接近于一定的角度,因此将膝盖弯曲度信号的第一个取值的绝对值也作为一个特征量,综上所述,一个人在一种动作下的特征量是包含21个数据的一维矩阵。

3.3 训练网络及分类识别

本次训练使用的工具是 MATLABR2018b,用于训练

的样本是提取的 60 组特征向量,在训练的过程中,将 20 组行走的特征向量标记为 0,20 组站立的特征向量标记

为1,20组静坐的特征向量标记为2。随后将6组特征向量输入网络进行分类测试,训练流程如图6所示。

表 2 第 1 ·	个正常人在 3 种不同动作	作下的 20 个特征值
-----------	---------------	-------------

Table 2 20 eigenvalues of the first normal person in three different action

肌肉	维度	行走	站立	静坐
RF	时间	41. 508 50. 553	38. 143 44. 055	139. 715 159. 209
	频率	50. 553 1. 252	0. 734 0. 703	2. 057 3. 018
DE	时间	20. 495 26. 657	236. 469 369. 762	29. 979 26. 330
BF	频率	0. 555 0. 601	5. 977 5. 361	0. 518 0. 546
37M	时间	73. 877 73. 208	60. 435 53. 458	222. 280 246. 706
VM	频率	1. 270 1. 855	0. 983 1. 106	2. 963 4. 964
ST	时间	25. 877 34. 770	527. 332 882. 034	26. 660 20. 615
	频率	0. 775 0. 838	10. 403 14. 757	0. 380 0. 527
FX	时间	76 498. 771 70 378. 202	604 387. 940 410 242. 214	614 177. 927 240 426. 846
	频率	208. 691 2 454. 278	262. 142 10 108. 317	185. 580 9 316. 330

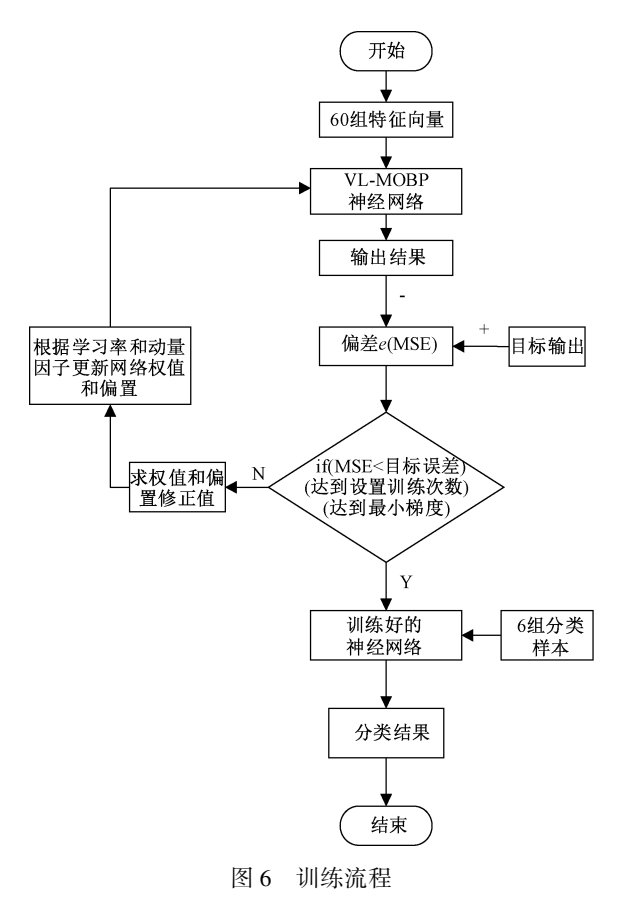


Fig. 6 Training flowchart

网络训练中选用归一化均方误差(mean squared error, MSE)函数,初始学习率设为 0.05。图 7 所示为训练过程中的性能函数曲线。

由图 7 可以看出, 当训练 80000 次时, 最小均方误差 出现在 79 997 次, 为 3.2×10⁻⁸。分别将两个行走、两个

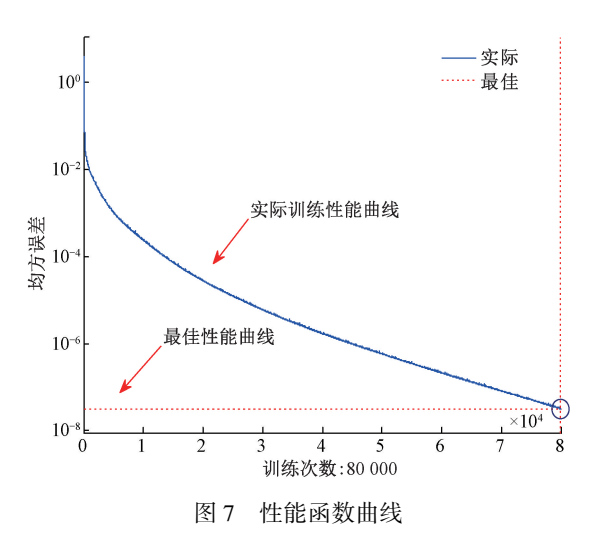


Fig. 7 Performance function graph

站立及两个静坐特征值送到已经训练好的网络中测试,得到的结果分别为 0.067 0、0.000 6、0.841 5、1.011 8、1.760 2、1.873 2,假设允许误差为±0.25,从测试结果看,6个测试样本分类均正确。由此也验证了该分类方法的有效性。在相同的误差标准下,本文还使用小波变换、短时傅里叶变换、离散傅里叶变换等方法提取特征值,并送到 VL-MOBP 神经网络中进行分类识别,结果如表 3 所示,表 3 加粗部分表示分类错误样本。

表 4 列出了本文使用的特征提取方法和其他文献中的特征提取方法对人体动作进行识别的平均识别准确度,由表 4 可知,本文使用的方法平均识别准确率为96.67%,比较其他方法的准确率可知使用时频广义 S 变换和 VL-MOBP 神经网络对人体动作识别的准确率最高,故验证了该识别方法的有效性。

主っ	2111	练	仕	古	4±	Œ
表 3	ามแ	纽尔.	מו	具	萡	未

Table 3 Raining simulation results

	方法	MSE			输出	结果			错误数	正确率/%
	本文方法	3. 20×10 ⁻⁸	0.067 0	0.0006	0. 841 5	1.0118	1.760 2	1. 873 2	0	100
1	小波变换	1. 16×10^{-10}	-0.2797	0.5334	0.9420	0.7038	1.3587	1.877 9	4	33. 33
	短时傅里叶变换	3.16×10^{-6}	-0.5419	0.0698	0.8720	0.749 4	2. 231 5	1.788 2	2	66. 67
	离散傅里叶变换	2.11×10^{-4}	0.3126	0.4517	1.028 5	1.1609	2. 259 4	2.0317	3	50
2	本文方法	1. 66×10 ⁻⁹	0.073 7	0. 242 0	0.8774	0. 922 5	1. 970 4	2. 215 1	0	100
	小波变换	1.40×10^{-10}	0.455 5	0.0148	1. 274 8	0.6906	1.503 0	1.756 5	4	33. 33
	短时傅里叶变换	6. 61×10^{-5}	0.0105	0.429 3	1. 175 6	0.8690	2. 190 9	1.609 7	2	66. 67
	离散傅里叶变换	3.38×10^{-6}	-0.3844	-0.398 5	0.6626	0.793 2	1.907 9	1.743 9	4	33. 33
3	本文方法	9. 02×10 ⁻⁷	-0.032 5	0. 336 2	1. 032 5	0. 911 4	1.775 6	2. 043 9	1	83. 33
	小波变换	1.59×10^{-8}	-0. 246 2	0.3049	0.807 6	0. 938 6	1.6406	1.623 2	3	50
3	短时傅里叶变换	6. 59×10^{-8}	-0. 218 5	-0.3463	0.9145	0.8846	1.9816	1.688 0	2	66. 67
	离散傅里叶变换	1.44×10^{-6}	-0.273 0	-0.052 6	0.3973	0.9109	1.8816	1.743 5	3	50
	本文方法	6. 68×10^{-6}	0.024 8	0. 108 6	0.8613	0.7617	1.8548	2. 195 5	0	100
	小波变换	9.00×10^{-5}	-0.493 9	0. 208 4	0.6723	0.153 6	1.737 9	1. 981 8	4	33. 33
4	短时傅里叶变换	9.68×10^{-6}	-0.168 7	-0.605 1	1.048 1	0.6590	1.699 7	1.8520	3	50
	离散傅里叶变换	9.00×10^{-5}	0. 129 9	0.3469	1.2172	0.683 3	1.775 3	1.4629	3	50
5	本文方法	1. 99×10 ⁻⁶	0. 027 7	-0.054 6	0. 917 3	1. 181 9	1. 988 1	2. 068 1	0	100
	小波变换	9. 67×10^{-11}	0.3173	-0.119 5	0.202 0	0.799 1	1.694 1	2. 128 4	3	50
	短时傅里叶变换	8. 43×10^{-7}	-0.069 7	0.748 2	1.064 6	1.094 1	1.723 9	1.736 6	3	50
	离散傅里叶变换	8.01×10^{-3}	0. 133 0	0. 199 8	0.7819	0.476 0	1.857 3	1.666 9	2	66. 67

表 4 准确度比较

Table 4 Accuracy comparison

来源	信号	特征值提取方法	分类方法	对象	平均识别准确度/%
本文	sEMG	时频广义S变换	VL-MOBP 神经网络	下肢3种动作识别	96. 67
本文	sEMG	小波变换	VL-MOBP 神经网络	下肢3种动作识别	40.00
本文	sEMG	短时傅里叶变换	VL-MOBP 神经网络	下肢3种动作识别	60.00
本文	sEMG	离散傅里叶变换	VL-MOBP 神经网络	下肢3种动作识别	50.00
文献[2]	sEMG	神经网络	Softmax 分类器	人体6类动作识别	93. 89
文献[8]	sEMG	小波变换	BP 神经网络/有限状态机	步态识别	95. 00
文献[10]	sEMG	块稀疏贝叶斯学习	_	6 类手指动作识别	92. 90
文献[20]	sEMG	小波包	BP 神经网络	20 种手部动作	90. 90

4 结 论

针对仿生假肢动作识别的需要,本文提出了一种基于时频广义S变换和VL-MOBP神经网络的动作识别方法,分析了表面肌电信号在二维时频域下的基本特性,讨论了时频广义S变换在不同 γ ρ 取值下对肌电信号特征值的影响,实现了对人体下肢行走、站立及静坐3种动作的分类识别。理论分析与仿真实验结果表明,与文献[8,20]提取特征值的方法相比,基于时频广义S变换的特征值提取方法更好地保留了原始信号的特征信息。与传统的时频分析方法相比,时频广义S变换不仅可以根据实际信号频率的变化来改变高斯窗口宽度,而且还能根据实际信号的特点和分析侧重点来改变高斯窗口宽度随频率变化的速率。

在数据测试过程中,不仅测试了正常人的肌电信号,

也测试了膝盖异常者的肌电信号,从训练的结果来看,不管是正常测试者还是膝盖异常测试者,在一定误差范围内,都能够准确识别。但由于本文用于识别分类的网络为 BP 神经网络,该网络在训练过程中需要较长时间才能够达到理想的分类效果,所以该网络目前并不适用于在线识别分类,如需实现在线识别分类,则需要使用更加优化的神经网络来对特征向量进行识别。下一步的工作将是使用更加完善的神经网络来对特征值进行分类识别,从而实现人体动作在线识别分类的目标。

参考文献

- [1] CHENG J, CHEN X, LIU A P, et al. A novel phonology- and radical-coded chinese sign language recognition framework using accelerometer and surface electromyography sensors [J]. Sensors (Basel, Switzerland), 2015, 15(9):23303-23324.
- [2] 沈西挺,于晟,董瑶,等. 基于深度学习的人体动作识

[7]

- 别方法[J]. 计算机工程与设计, 2020, 41(4): 1153-1157.
- SHEN X T, YU SH, DONG Y, et al. Human motion recognition method based on deep learning [J]. Computer Engineering and Design, 2020,41(4):1153-1157.
- [3] SUN Y X, WEN G H. Ensemble softmax regression model for speech emotion recognition [J]. Multimedia Tools and Applications, 2017, 76(6):8305-8328.
- [4] 刘作军,高新智,赵晓东,等. 下肢假肢穿戴者跑动步态识别与膝关节控制策略研究[J]. 仪器仪表学报, 2018,39(7):74-82.

 LIU Z J, GAO X ZH, ZHAO X D, et al. Research on running gait recognition and motion control strategy for lower limb prosthesis wearer [J]. Chinese Journal of Scientific Instrument, 2018,39(7):74-82.
- [5] CHEN X L, LIU X J, ZHAO Y L. New family of Abelian integrals satisfying Chebyshev property [J]. Journal of Differential Equations, 2020, 268 (12): 7561-7581.
- [6] TANG X C, MA Z W, HU Q S, et al. A real-time arrhythmia heartbeats classification algorithm using parallel delta modulations and rotated linear-kernel support vector machines [J]. IEEE Transactions on Bio-Medical Engineering, 2020,67(4):978-986.

高云园,佘青山,孟明,等.基于多源信息融合的膝上

- 假肢步态识别方法[J]. 仪器仪表学报,2010,31(12):2682-2688.
 GAO Y Y, SHE Q SH, MENG M, et al. Gait recognition method for knee prosthesis based on multisource information fusion [J]. Chinese Journal of Scientific Instrument, 2010, 31(12):2682-2688.
- [8] 蒋留兵,李骢,车俐.利用二维小波包分解实现超宽带雷达人体动作识别[J]. 电子测量与仪器学报,2018,32(8):69-75.

 JIANG L B, LI C, CHE L. Human motion recognition of ultra-wideband radar using two-dimensional wavelet packet decomposition [J]. Journal of Electronic
- [9] 于宗泽,方勇,李兆元. 基于压缩稀疏融合的动作识别方法[J]. 电子测量技术,2016,39(11):155-159,172. YU Z Z, FANG Y, LI ZH Y. Action recognition method based on compression and sparse fusion [J]. Electronic Measurement Technology,2016,39(11):155-159,172.

Measurement and Instrument, 2018, 32(8):69-75.

[10] 丁帅,王亮. 基于块稀疏贝叶斯学习的肌电信号特征 提取[J]. 仪器仪表学报,2014,35(12):2731-2738. DING SH, WANG L. Feature extraction of EMG signals based on block sparse Bayesian learning[J]. Chinese Journal of Scientific Instrument, 2014, 35 (12):

- 2731-2738.
- [11] LIU Z K, PENG C, YANG X Q. Research and analysis of the wheeled vehicle load spectrum editing method based on short-time Fourier transform [J]. Proceedings of the Institution of Mechanical Engineers, 2019, 233(14):3671-3683.
- [12] RIMI P, ANINDITA S. Design and application of discrete wavelet packet transform based multiresolution controller for liquid level system [J]. ISA transactions, 2017, 71(Pt 2):585-598.
- [13] CHENG Y, LI Y, ZHANG C. First-break picking for microseismic data based on cascading use of Shearlet and Stockwell transforms [J]. Geophysical Prospecting, 2019, 67(1): 85-96.
- [14] LI J H, MA J Q. Seismic surface wave suppression based on the generalized S transform [J]. International Journal of Digital Content Technology and its Applications, 2013, 7(7):554-560.
- [15] ZHANG J, PENG Z M, ZHANG Q H, et al. Dim target detection based on image features analysis in generalized S-transform domain [C]. 2010 International Conference on Intelligent Computation Technology and Automation, 2010:122-125.
- [16] YIN B Q, HE Y G. A fast matrix inverse s-transform algorithm for MCG denoise [C]. 12th IEEE International Conference on Electronic Measurement & Instruments, 2015;315-319.
- [17] WANG W L, ZHAO S L, JIAO L M, et al. Estimation of PM2. 5 concentrations in China using a spatial back propagation neural network [J]. Scientific Reports, 2019, 9(1):13788.
- [18] 韩兵. 基于广义 S 变换的地震信号时频分析[J]. 内蒙古石油化工, 2016,42(Z2):57-60.

 HAN B. Time-frequency analysis of seismic signals based on generalized S transform [J]. Inner Mongolia Petrochemical Industry, 2016,42(Z2):57-60.
- [19] 徐永干, 冉恒, 苟鑫, 等. 基于广义 S 变换和 QPSO-SVM 的水电机组振动故障诊断方法 [J]. 智慧电力, 2020, 48(2): 38-44, 84.

 XU Y G, RAN H, GOU X, et al. Vibration fault diagnosis for hydroelectric generating unit based on

generalized S transform and QPSO-SVM [J]. Smart

[20] 都明宇,王志恒,荀一,等. 多模式人手动作分类识别方法[J]. 中国机械工程,2019,30(12):1474-1479.

DOU M Y, WANG ZH H, XUN Y, et al. Multi-patternhuman hand classification and recognition method [J]. China

Mechanical Engineering, 2019, 30(12):1474-1479.

Power, 2020, 48(2): 38-44, 84.

作者简介



尹柏强,2008年于南华大学获得学士学位,2010年于湖南大学获得硕士学位,2014年于湖南大学获得博士学位,现为合肥工业大学副教授,主要研究方向为智能电网、物联网关键技术及应用、复杂电磁环境模拟、分析与评估;

E-mail: yinbaiqiang123@ 163. com

Yin Baiqiang received his B. Sc. degree from University of South China in 2008, M. Sc. degree from Hunan University in 2010, Ph. D. degree from Hunan University in 2014. Now he is an associate professor at Hefei University of Technology. His main research interests include complex signal analysis and

processing, radio frequency identification technology and numerical optimization algorithm.



邓影(通信作者),2018年于安徽理工 大学获得学士学位,现为合肥工业大学硕士 研究生,主要研究方向为数字信号处理和深 度学习。

E-mail: Dy19951128@ 163. com

Deng Ying (Corresponding author) received his B. Sc. degree from Anhui University of Science & Technology in 2018. Now he is a M. Sc. candidate at Hefei University of Technology. His main research interests include digital signal processing and deep learning.